

Kerne und Teilchen

Physik VI

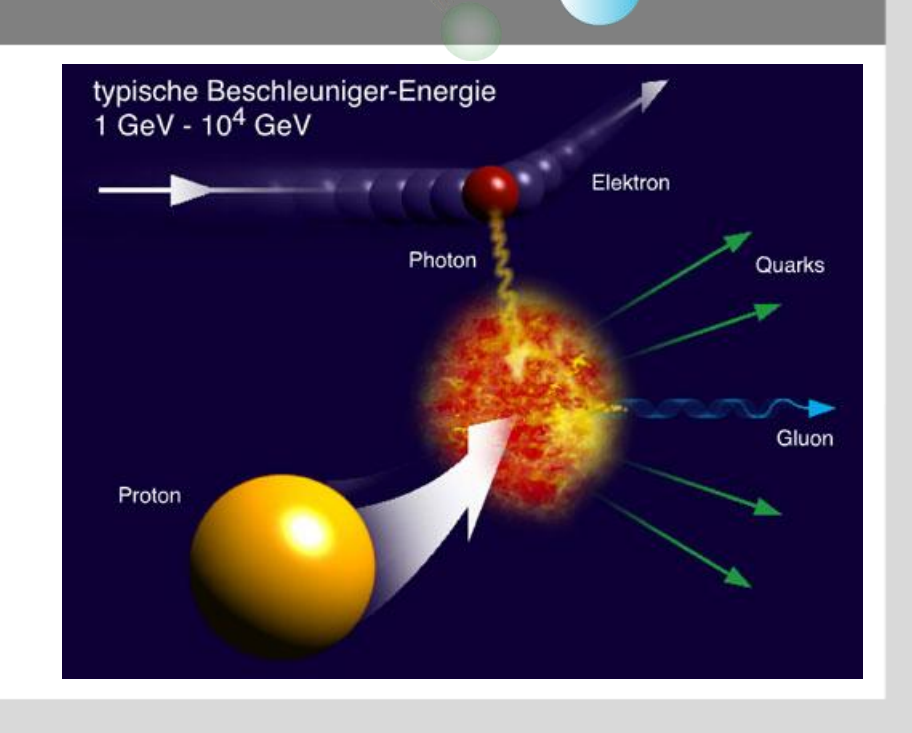
Vorlesung # 08 6.5.2010

"Verlockend ist der äußre Schein, der Weise dringet tiefer ein" (W. Busch)

Guido Drexlin, Institut für Experimentelle Kernphysik



- Streuung an Partonen
- Strukturfunktionen im Partonenmodell
- Callan-Gross Relation
- Partonverteilungen (pdf)
- Impulsverteilung des Nukleons
- Gluonen & Masse des Nukleons



Nukleonen: Formfaktoren & Resonanzen



Sachs-Formfaktoren des Nukleons:

elektrischer (G_E) & magnetischer (G_M) Formfaktor des Nukleons

- Q² = 0: Proton: $G_E(0) = 1$, $G_M(0) = 2.79$, Neutron: $G_E(0) = 1$, $G_M(0) = -1.91$ anomale magnetische Momente $g_{Proton} = 5.58$, $g_{Neutron} = -3.82$
- aus Q²-Abhängigkeit von G ⇒ Ladungsverteilung ρ(r) der Nukleonen p, n Dipolformaktoren G(Q²):

$$G(Q^{2}) = \frac{1}{(1+1.41 \cdot Q^{2} [GeV^{2}c^{-2}])^{2}}$$

 \Leftrightarrow exponentieller Abfall $\rho(r)$

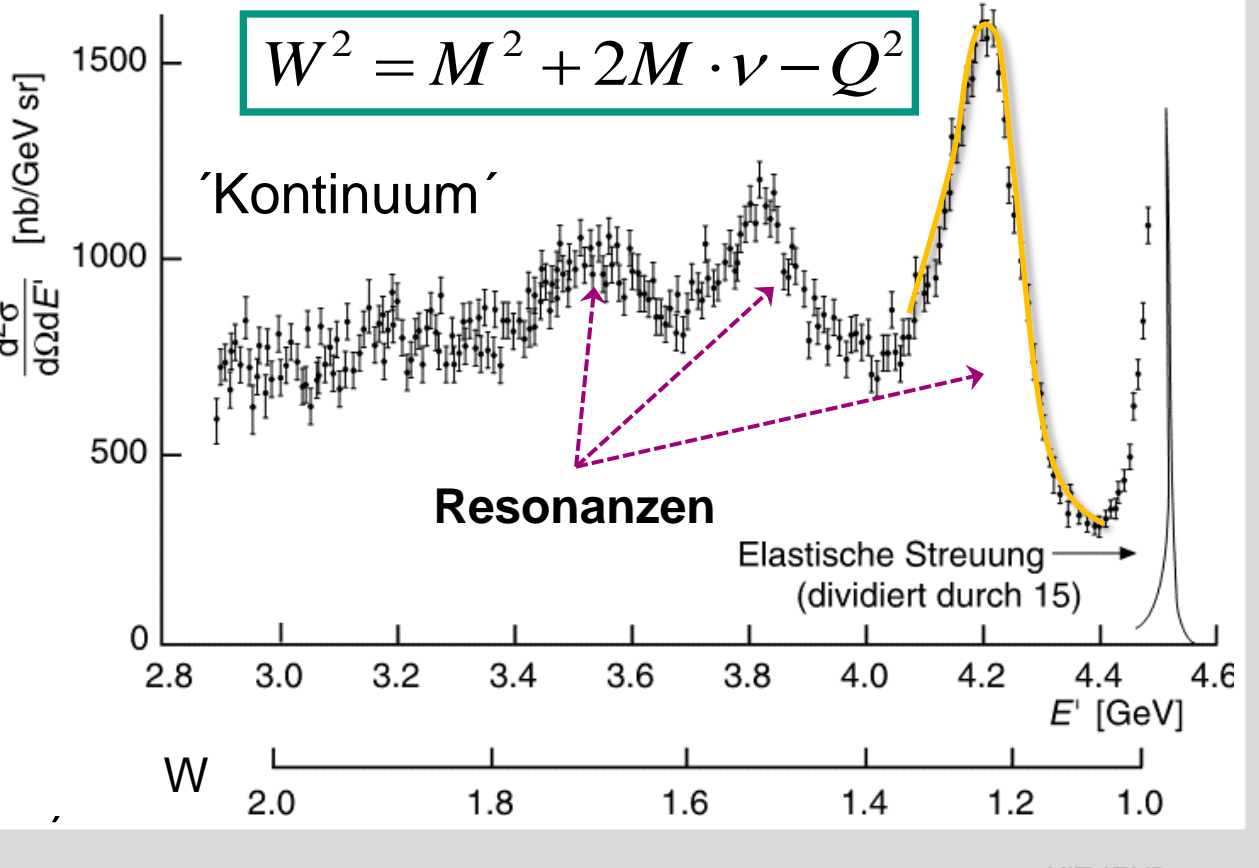
♥ qdr. Ladungsradius r ~ 0.8 fm

■ Resonanzen:

tiefinelastische Elektronstreuung

$$2M \cdot \nu - Q^2 > 0$$

Nukleon wird angeregt (Δ-Resona



Nukleonen: tiefinelastische Streuung

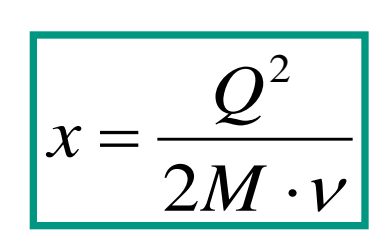


große invariante Masse W:

- doppelt differentieller Wq. d²σ/dΩdE´des e¯ wird unabhängig von Q²
- Streuung an punktförmigen Konstituenten des Nukleons

■ Bjorken-Skalenvariable x:

- Maß der Inelastizität der Streuung
- elastisch: x = 1, inelastisch: 0 < x < 1



Hadronen Proton 'bricht

auf

dimensionslose Strukturfunktionen:

= Fouriertransformierte der Ladungsverteilung

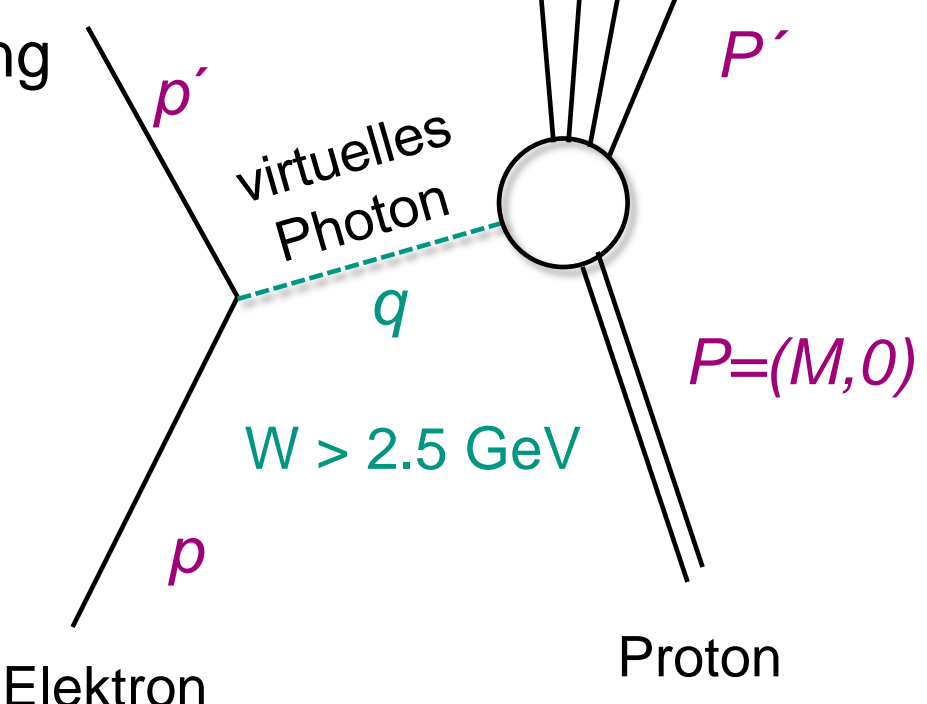
- magnetische Wechselwirkung:

$$F_1(x,Q^2) = Mc^2 \cdot W_1(Q^2,\nu)$$

- elektrische Wechselwirkung:

$$F_2(x,Q^2) = v \cdot W_2(Q^2,v)$$

Skaleninvarianz: F₁, F₂ unabhg. von Q² Streuung an punktförmigen Partonen



Partonen

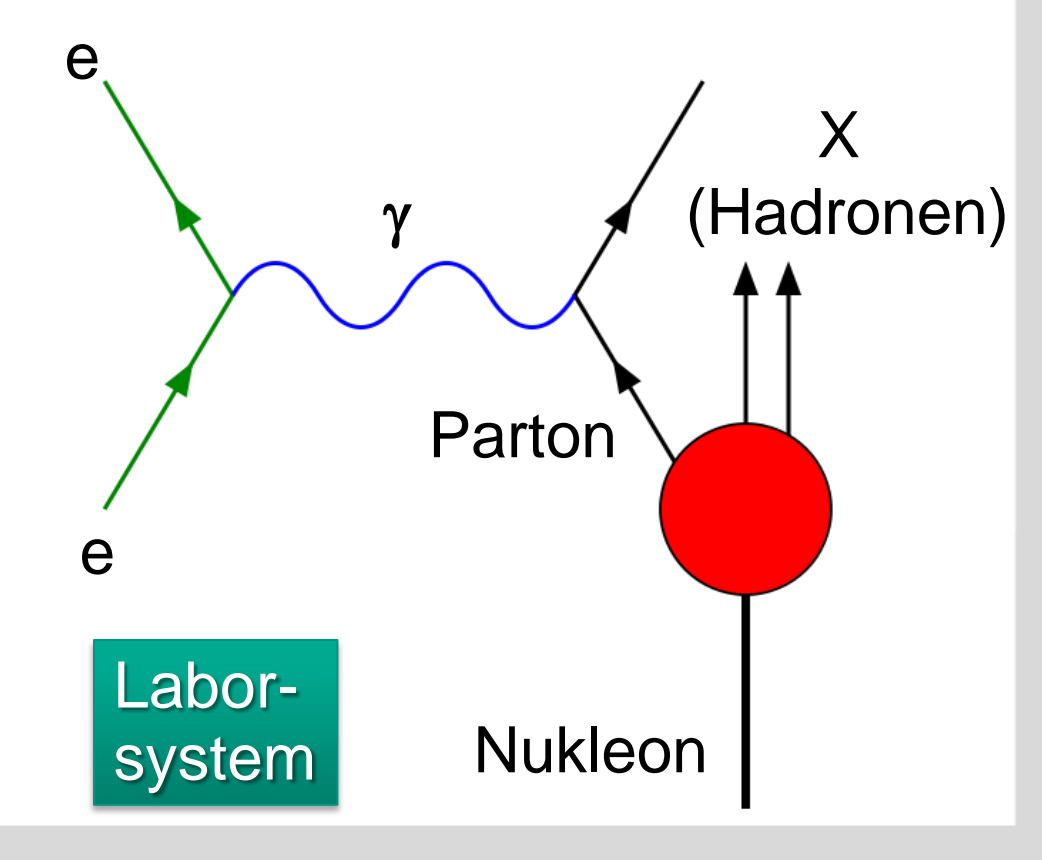


- Parton-Modell des Nukleons R. Feynman (1969):
 - die inelastische ep-Streuung lässt sich darstellen als eine inkohärente Überlagerung von elastischen Elektron-Parton-Wechselwirkungen d.h. Stoßzeit des Elektrons ist kleiner als Wechselwirkungszeit der Partonen
 - kurze "Belichtungszeit": Partonen sind in ihrem Zustand quasi "eingefroren" spätere QCD-Wechselwirkung der Partonen lässt das Nukleon zerplatzen
- Bjorken-Variable x:

$$x = \frac{Q^2}{2M \cdot \nu}$$

x = Bruchteil des Viererimpulsesdes Nukleons, der vom Partonbeim Stoßprozess getragen wird

bessere Diskussion der Kinematik durch Übergang vom Laborsystem in das Breit-System



Streuung an Partonen



- Kinematik im Breit-System:
 - in diesem schnell bewegten System sind die transversalen Impulse
 & Ruhemassen der Partonen vernachlässigbar
 [damit eigentlich: x = Anteil am longitudinalen Impuls des Nukleons]



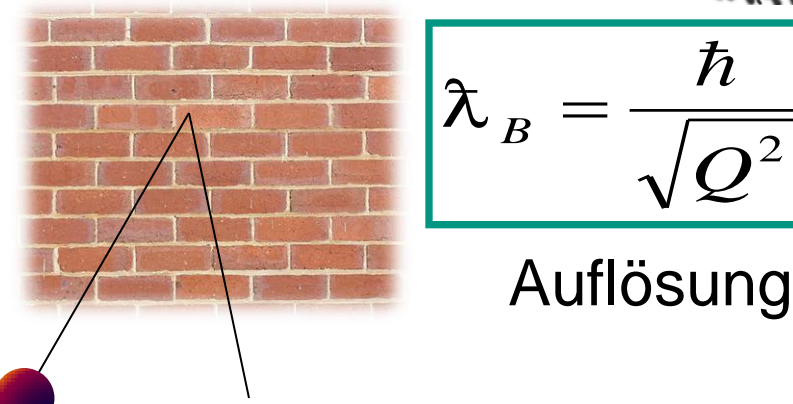
Gregory Breit

- das virtuelle Photon γ überträgt nur Impuls, aber keine Energie $q = (0, \overrightarrow{q}) = (0, 2x \cdot P)$
- das Parton wird zurückgestreut wie an einer festen Wand

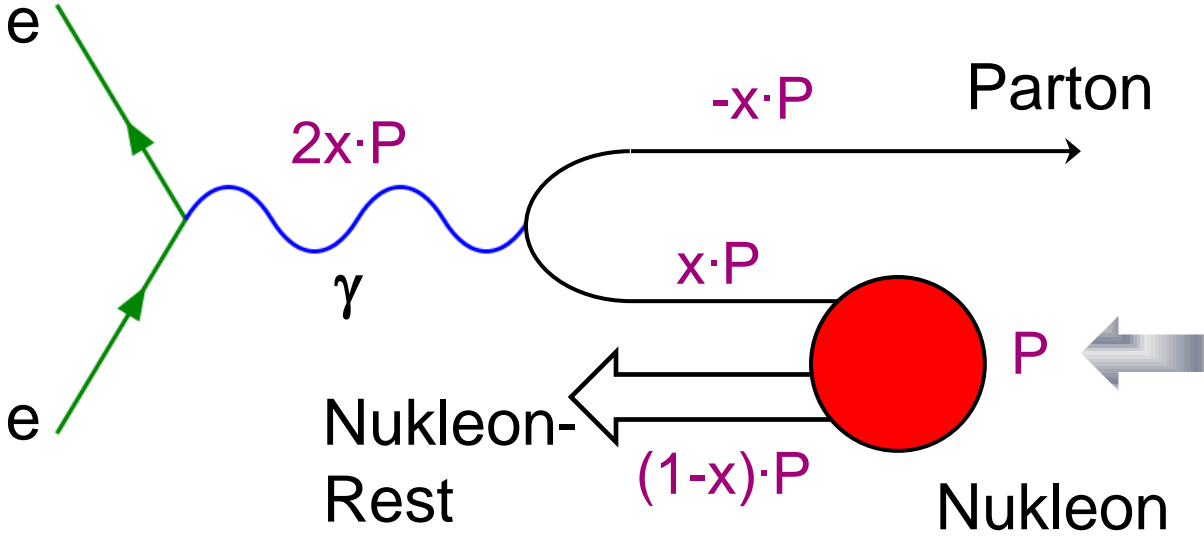
$$(x \cdot P \rightarrow -x \cdot P)$$

"brick wall frame"





G. Drexlin - VL08



Breitsystem

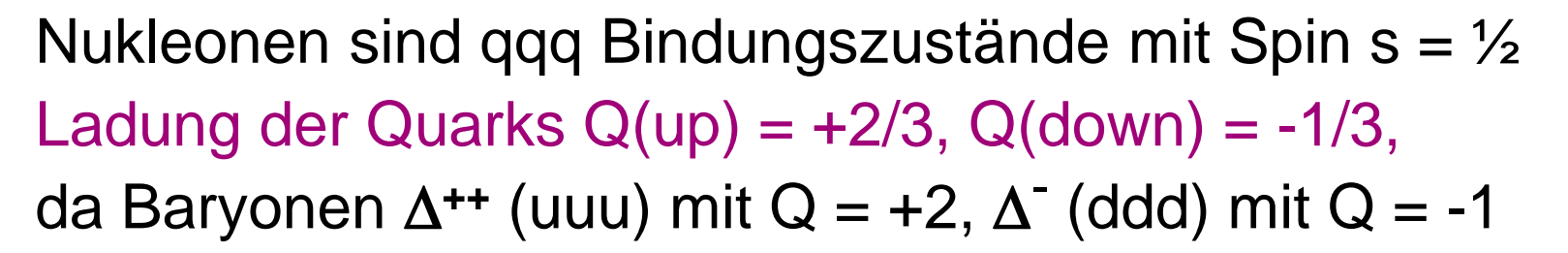
das Parton-Modell

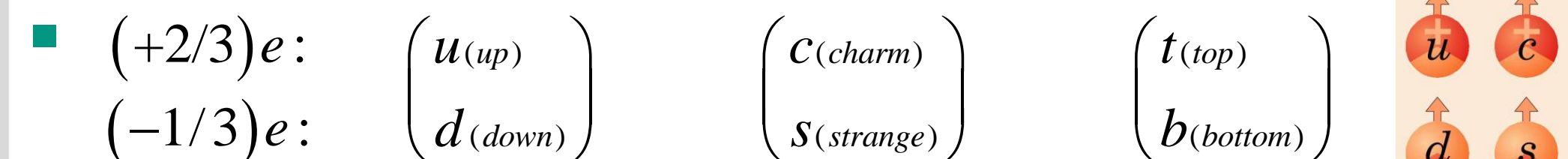


Nukleonen sind aus verschiedenen Quarktypen f mit der elektrischen Ladung $z_f \cdot e$ aufgebaut, Wq. für elektromagnet. Streuung ~ $(z_f)^2$

Proton uud
Neutron udd

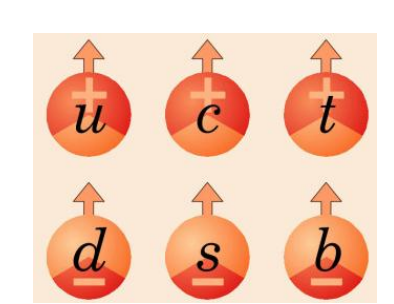
Quantenzahlen durch 'Valenzquarks' gegeben





$$\left(egin{array}{c} C(charm) \\ S(strange) \end{array} \right)$$

$$\begin{pmatrix} t_{(top)} \\ b_{(bottom)} \end{pmatrix}$$



die Quarks c, t, b sind so schwer, dass sie bei den erreichbaren Werten für Q² nur eine untergeordnete Rolle spielen & deshalb auch im Folgenden nicht weiter betrachtet werden müssen

das Parton-Modell



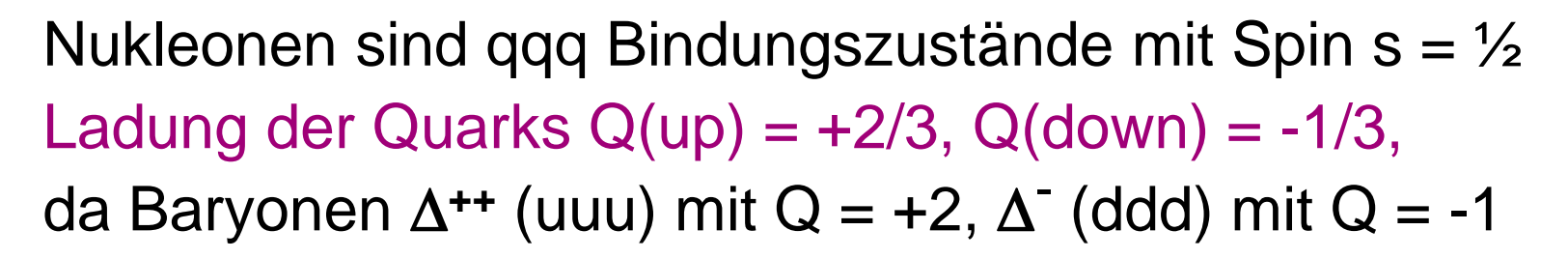
Nukleonen sind aus verschiedenen Quarktypen f mit der elektrischen Ladung $z_f \cdot e$ aufgebaut, Wq. für elektromagnet. Streuung ~ $(z_f)^2$

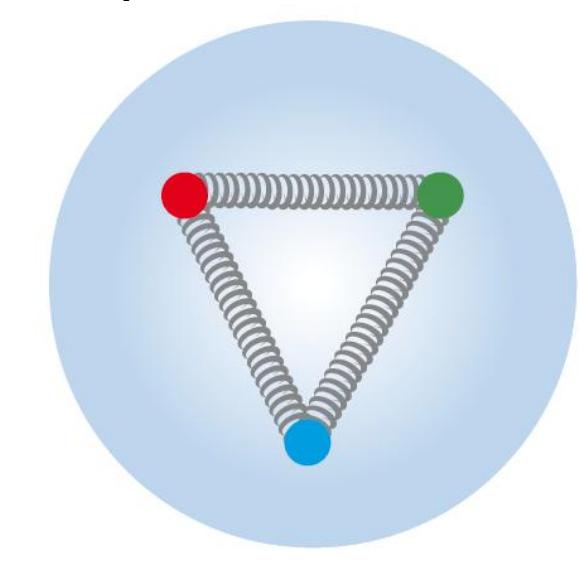
Proton

uud udd

Neutron

Quantenzahlen durch 'Valenzquarks' gegeben





für die 3 Valenzquarks des Nukleons gelten folgende Summenregeln:

$$\sum_{i=1}^{3} z_f^2 = \left(\frac{2}{3}\right)^2 + \left(\frac{2}{3}\right)^2 + \left(\frac{1}{3}\right)^2 = 1$$

$$\sum_{i=1}^{3} z_f^2 = \left(\frac{2}{3}\right)^2 + \left(\frac{1}{3}\right)^2 + \left(\frac{1}{3}\right)^2 = \frac{2}{3}$$

für das Neutron

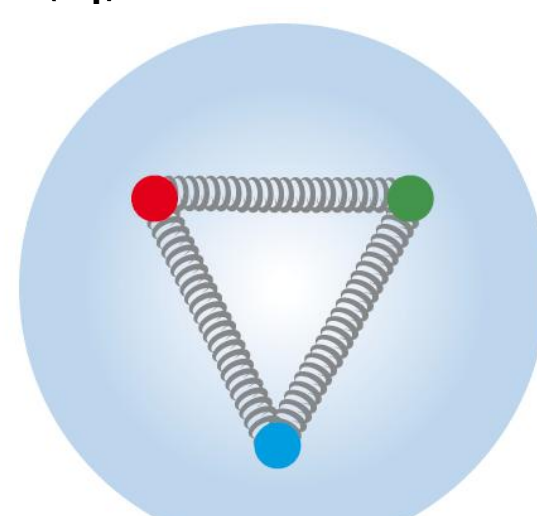
das Parton-Modell



- Nukleonen sind aus verschiedenen Quarktypen f mit der elektrischen Ladung $z_f \cdot e$ aufgebaut, Wq. für elektromagnet. Streuung ~ $(z_f)^2$
- die einzelne Valenz-Quarks tragen jeweils einen Impulsanteil x

Impuls-Verteilungsfunktion f(x):

Zahl der Quarks mit Flavour f im Impulsintervall [x, x+dx]



für eine Verteilungsfunktion f(x) eines geladenen Partons gilt:

$$\int_{0}^{1} f(x) dx = 1$$

$$\int_{0}^{1} x \cdot f(x) \, dx = \frac{a}{N}$$

Normierungsbedingung

bei N Partonen tragen diese einen Anteil a des Gesamt-Impulses des Nukleons



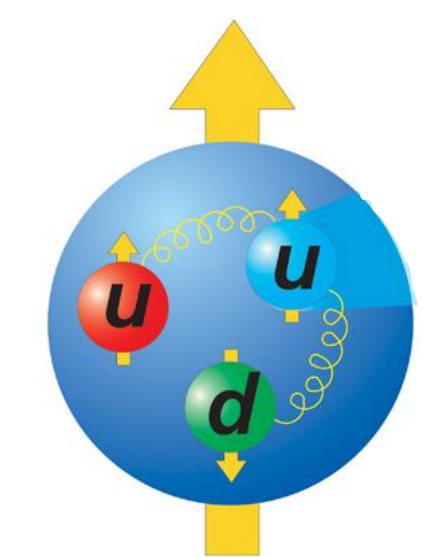
Strukturfunktion F₂(x) beschreibt die 'elektrische' Streuung an den Ladungen der Partonen (geladene Quarks)

$$\int_{0}^{1} \frac{F_2(x)}{x} dx = \sum_{i=1}^{3} z_f^2$$
 = 1 für das Proton
= 2/3 für das Neutron

$$\int_{0}^{1} F_{2}(x) dx = \frac{a}{N} \cdot \sum_{i=1}^{3} z_{f}^{2}$$

mit N = 3 (Quarkmodell von M. Gell-Mann): $\int_{0}^{\infty} F_{2}(x) dx = \frac{a}{N} \cdot \sum_{i=1}^{3} z_{f}^{2}$ Proton: $\int_{0}^{\infty} = 1/3$ und Neutron $\int_{0}^{\infty} = 2/9$ d.h. falls nur 3 geladene Quarks existieren

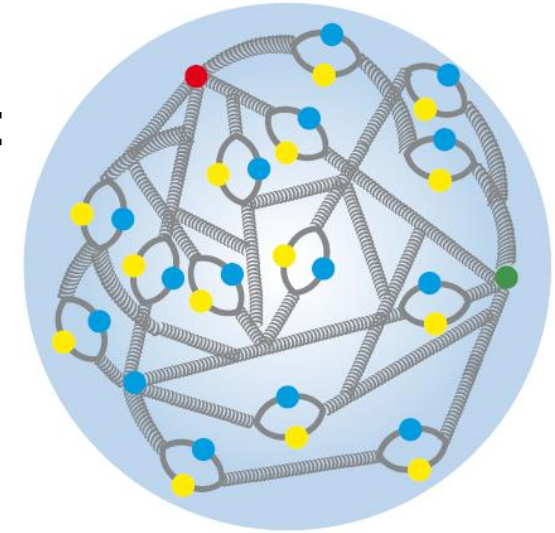
die experimentellen Beobachtungen liegen ca. um einen Faktor 0.5 unter den Erwartungen, falls nur geladene Quarks den Impuls tragen: geladene Partonen tragen nur ca. 50% des Nukleonen-Impulses



das erweiterte Parton-Modell



- das erweiterte Partonenmodell berücksichtigt das Vorhandensein von
 - neutralen Teilchen, die nicht an Photonen koppeln: Gluonen
 - eines Sees aus virtuellen Quark-Antiquark Paaren beide Komponenten können zur Streuung beitragen einzelne Quarkflavours werden mit unterschiedlichen Verteilungen vorkommen
- die einzelne Valenz-Quarks tragen jeweils einen Impulsanteil x Impuls-Verteilungsfunktion $q_f(x)$: Zahl der Quarks mit Flavour f im Impulsintervall [x, x+dx]
- zahlreiche See-Quarks (virtuelle Quark-Antiquark Paare): Impuls-Verteilungsfunktion $q_f(x)$:
 - Zahl der Anti-Quarks mit f im Impulsintervall [x, x+dx]
- zahlreiche neutrale Konstituenten: Gluonen Impuls-Verteilungsfunktion g(x)



10



Isospinsymmetrie: Proton und Neutron können durch Vertauschen von u- und d-Quark ineinander übergeführt werden, 🤝 Normierungsrelationen:

$$q_{up}^n = q_{down}^p$$
 $q_{up}^p = q_{down}^n$ $q_{strange}^p = q_{strange}^n$

Proton (uud)



$$\int (q_{up} - \overline{q}_{up}) dx = 2$$

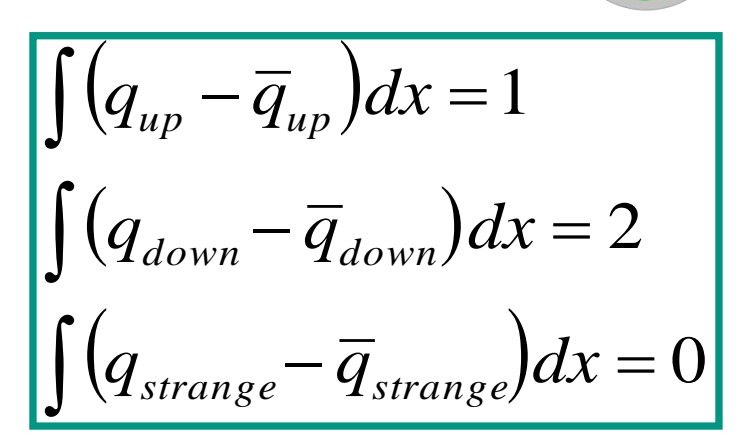
$$\int (q_{down} - \overline{q}_{down}) dx = 1$$

$$\int (q_{strange} - \overline{q}_{strange}) dx = 0$$

2 up Quarks, 1 down Quark

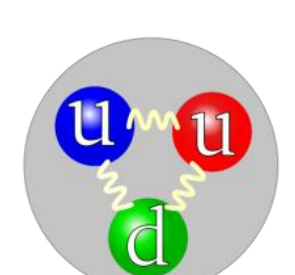
Neutron (udd)

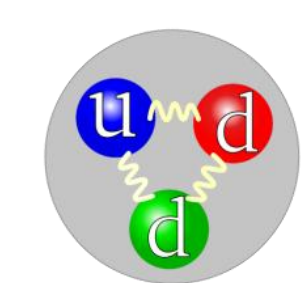
1 up Quark, 2 down Quarks



- Verteilungen der Antiquarks entsprechen denen der Seequarks

Verteilungen der Valenzquarks q_v (q_{up}, q_{down}) und Verteilungen der





Seequarks q_s:



Strukturfunktion $F_2(x)$: Summe der mit x und $(z_f)^2$ gewichteten Impuls-Verteilungen (pro Nukleon)

nochmals: bei der ep Streuung wechselwirken die Elektronen mit der Ladungsverteilung der Nukleonen (bzw. dem magnetischen Moment)

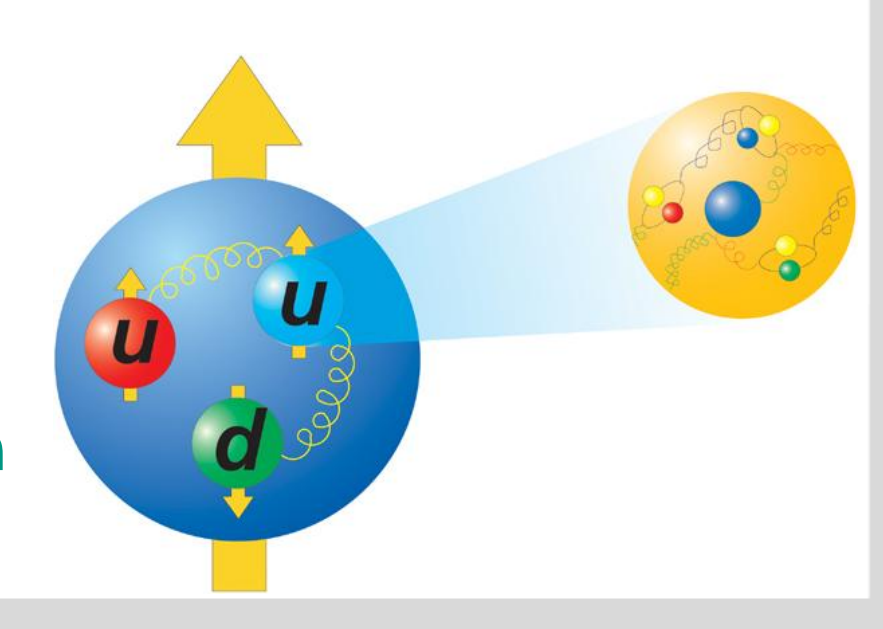
$$F_2(x) = x \cdot \sum_f z_f^2 \cdot \left[q_f(x) + \overline{q}_f(x) \right]$$

q_f(x): Quark-Impulsverteilung

q_f(x): Antiquark-Impulsverteilung

f : Quarkflavours (u,d,s)

Berücksichtigung der Existenz von virtuellen Seequarks (Quark-Antiquark-Paare) wichtig: s-Quarks & alle Anti-Quarks kommen nur als See-Quarks im Nukleon vor





Strukturfunktionen von Proton und Neutron mit $u^{n}(x) = d^{p}(x)$:

$$F_2^{ep}(x) = x \cdot \frac{4}{9} \left[u^p(x) + \overline{u}^p(x) \right] + \frac{1}{9} \left[d^p(x) + \overline{d}^p(x) + s(x) + \overline{s}(x) \right]$$

$$F_2^{en}(x) = x \cdot \frac{4}{9} \left[u^n(x) + \overline{u}^n(x) \right] + \frac{1}{9} \left[d^n(x) + \overline{d}^n(x) + s(x) + \overline{s}(x) \right]$$

für die gemittelte F₂(x) Strukturfunktion des Nukleons erhält man:

$$F_2^{eN}(x) = \frac{1}{2} \cdot \left[F_2^{ep}(x) + F_2^{en}(x) \right] \qquad \sim 0, \text{ nur Seequarks}$$

$$\text{Valenz- \& Seequarks}$$

$$= x \cdot \left\{ \frac{5}{18} \left[u(x) + \overline{u}(x) + d(x) + \overline{d}(x) \right] + \frac{1}{9} \left[s(x) + \overline{s}(x) \right] \right\}$$

mittlere quadrat. Ladung der up- und down-Quarks: 5/18

drittelzahlige Quark-Ladungen

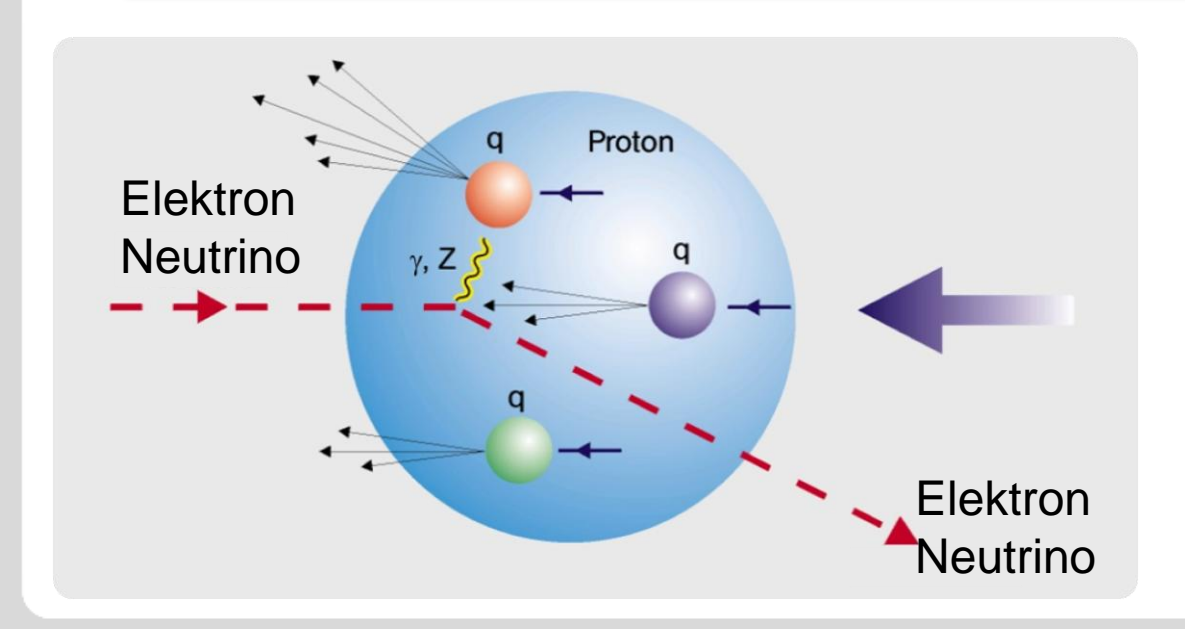


Vergleich der Nukleon-Strukturfunktionen in eN und vN Streuung:

$$F_2^{v,N}(x) = x \cdot \sum_f \left[q_f(x) + \overline{q}_f(x) \right]$$

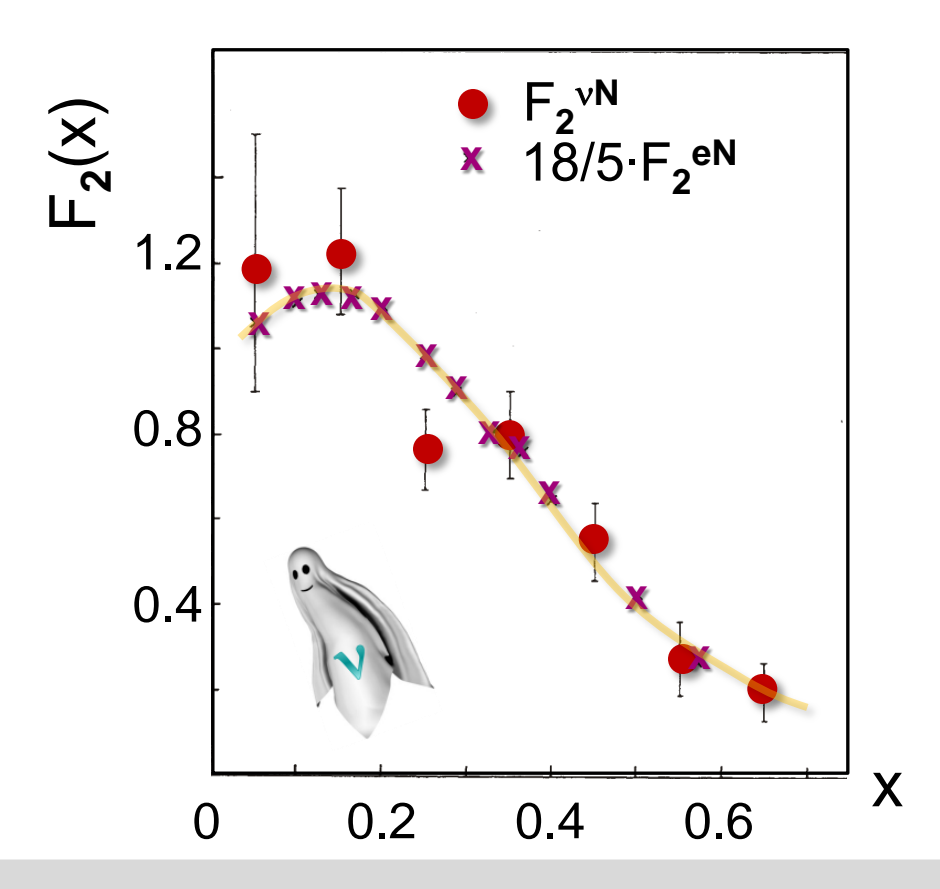
$$F_2(x) = x \cdot \sum_f \left[z_f^2 \cdot \left[q_f(x) + \overline{q}_f(x) \right] \right]$$

Quark-Ladungen für up: +2/3, down -1/3



Neutrinos (ν 's) 'sehen' nicht die elektrische Ladung q_f

identische Strukturfunktionen



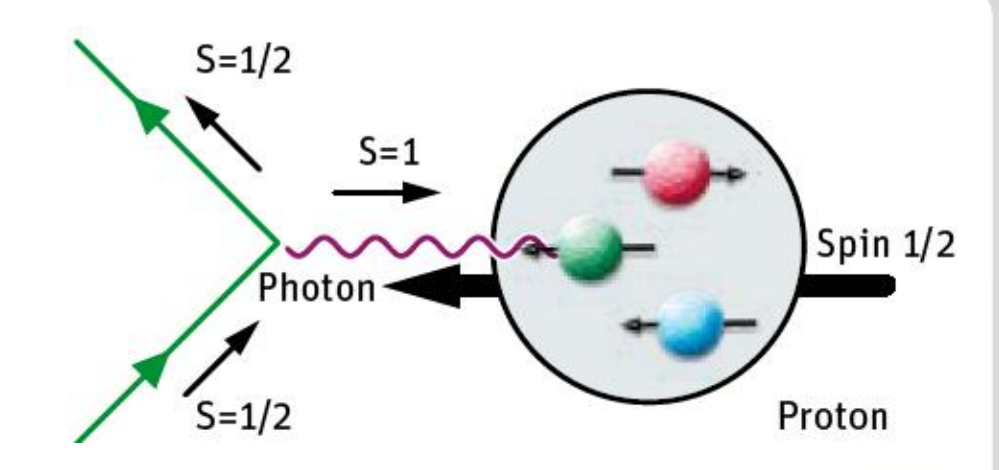
Callan-Gross Relation

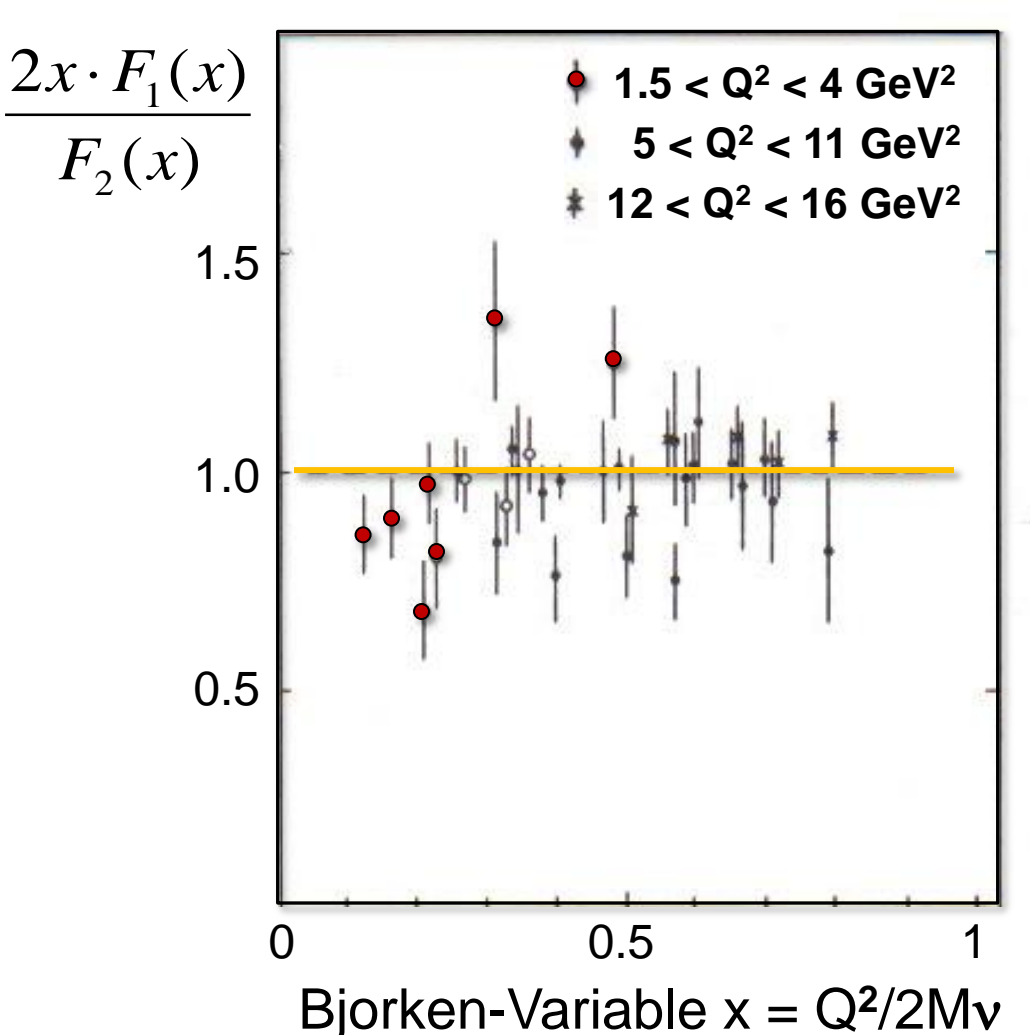
die Streuung des Elektrons erfolgt an punktförmigen Spin ½ Teilchen, durch Vergleich des Wq. mit F₁(x) & F₂(x) mit dem spinabhängigen Mott-Wq. erhält man folgende Relation:

$$F_2(x) = 2x \cdot F_1(x)$$

Callan-Gross Relation

- die Strukturfunktion F_1 entsteht durch magnetische Wechselwirkung, für Spin-0 Teilchen wäre $F_1(x) = 0$
- die Callan-Gross Relation ist für das Nukleon gut erfüllt ✓ inelastische Streuung an punktförmigen Konstituenten mit Spin s = ½



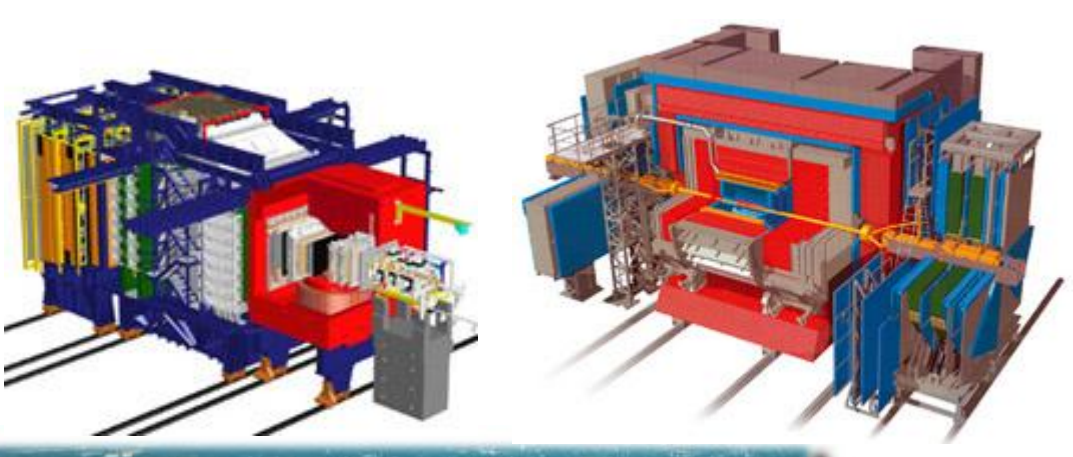


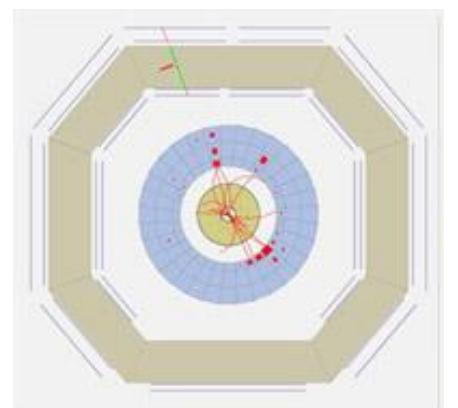
Messung der Strukturfunktionen

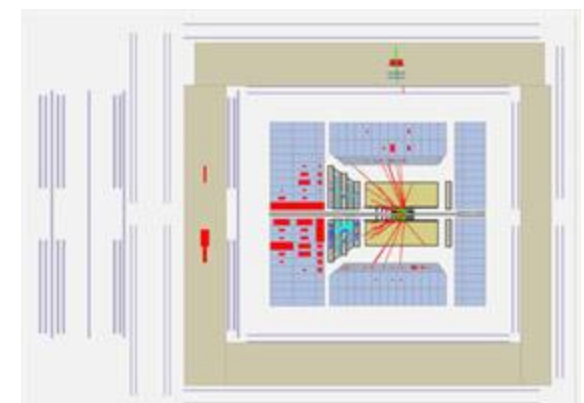


- Strukturfunktionen von Proton und Neutron wurden an zahlreichen
 Orten gemessen (z.B. am DESY mit E_{proton} = 800 GeV, E_{elektron} = 30 GeV)
 - da keine freien Neutronentargets existieren, benutzt man für Neutronen leichte Kerne (z.B. Deuterium) als Targets

 Signaturen in Detektoren

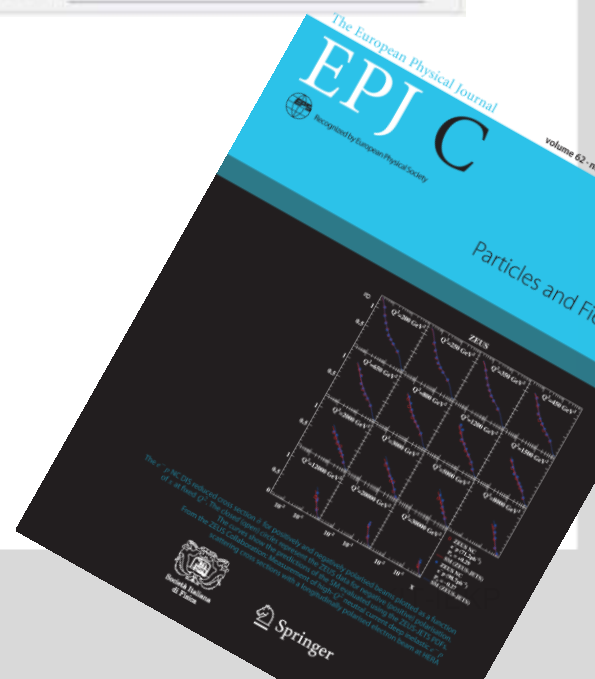






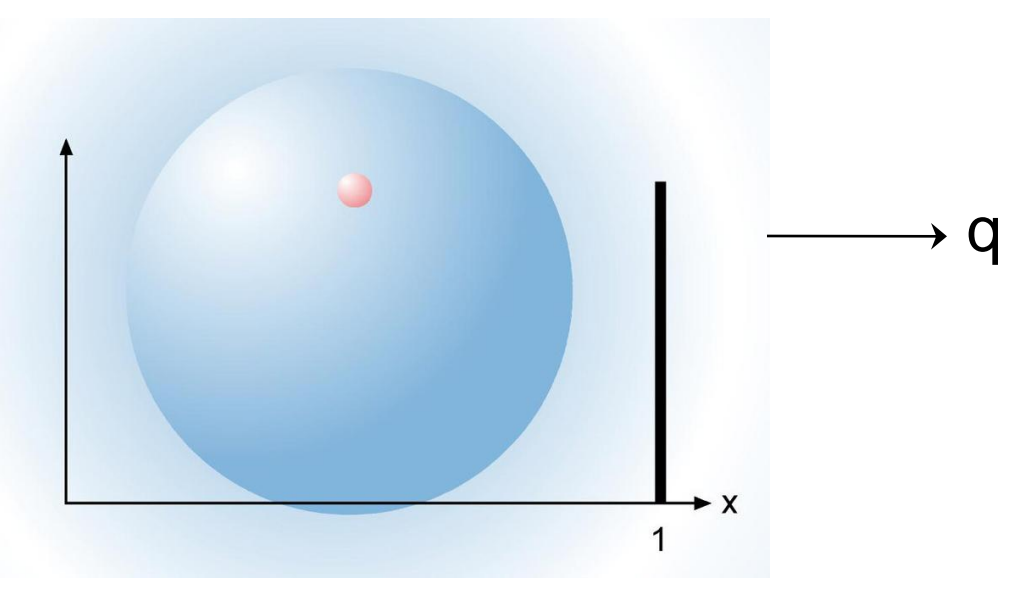




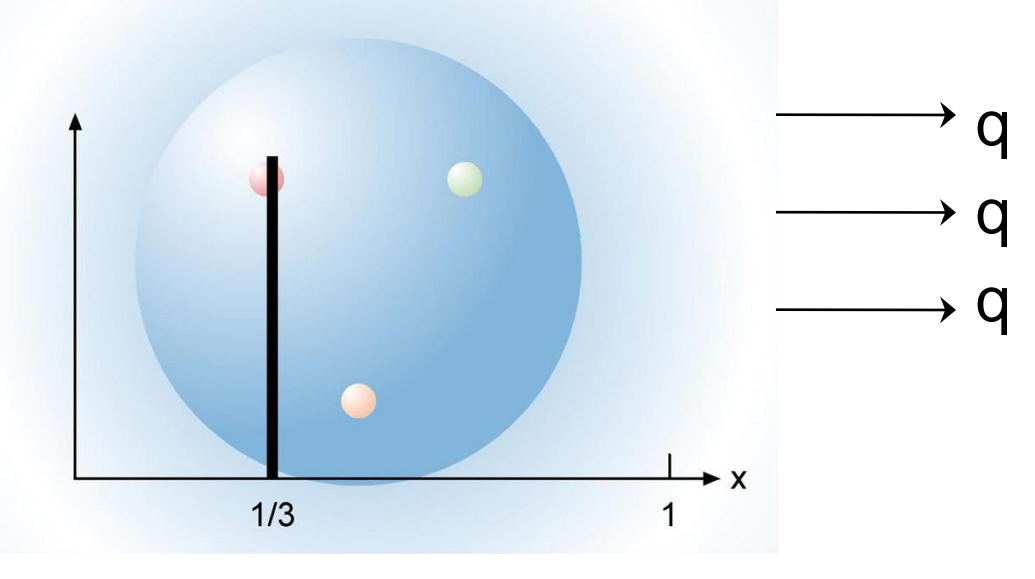


Partonverteilungen (PDFs)

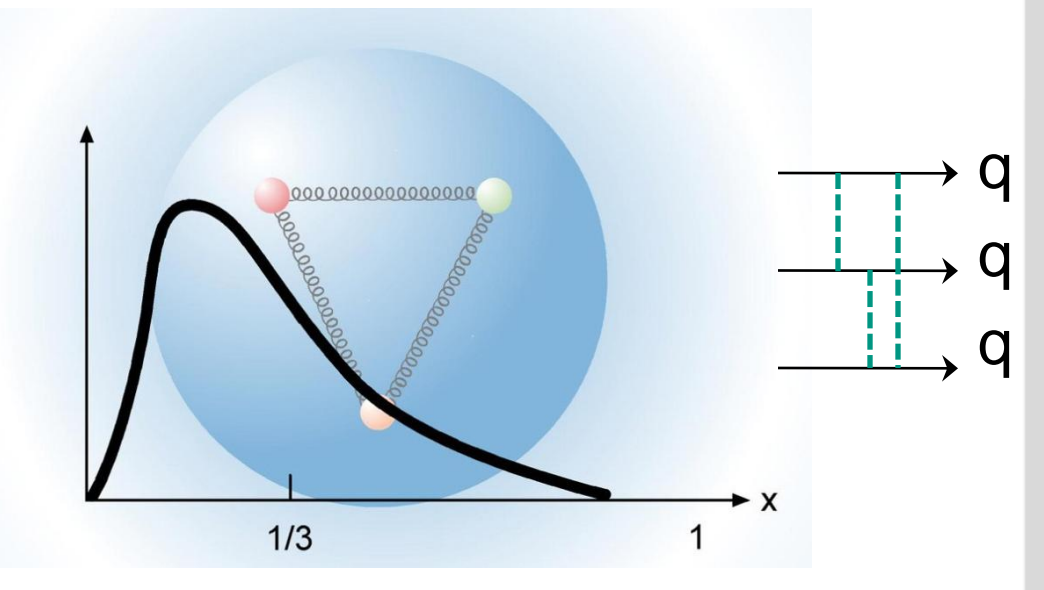




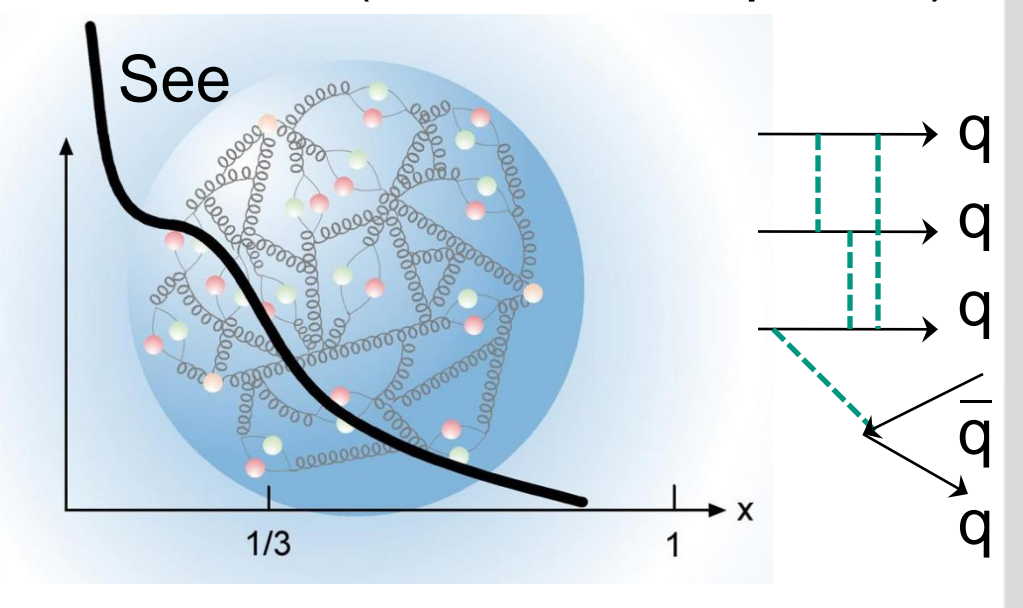
x = 1 für nur 1 Konstituentenquark



 $x = \frac{1}{3}$ für 3 unabhängige Quarks



x mit Gluonen ($\Sigma \sim \frac{1}{2}$ des Impulses)



kleine x: Gluonen, Quarks & Antiquarks

Partonverteilungen - Nukleonimpuls



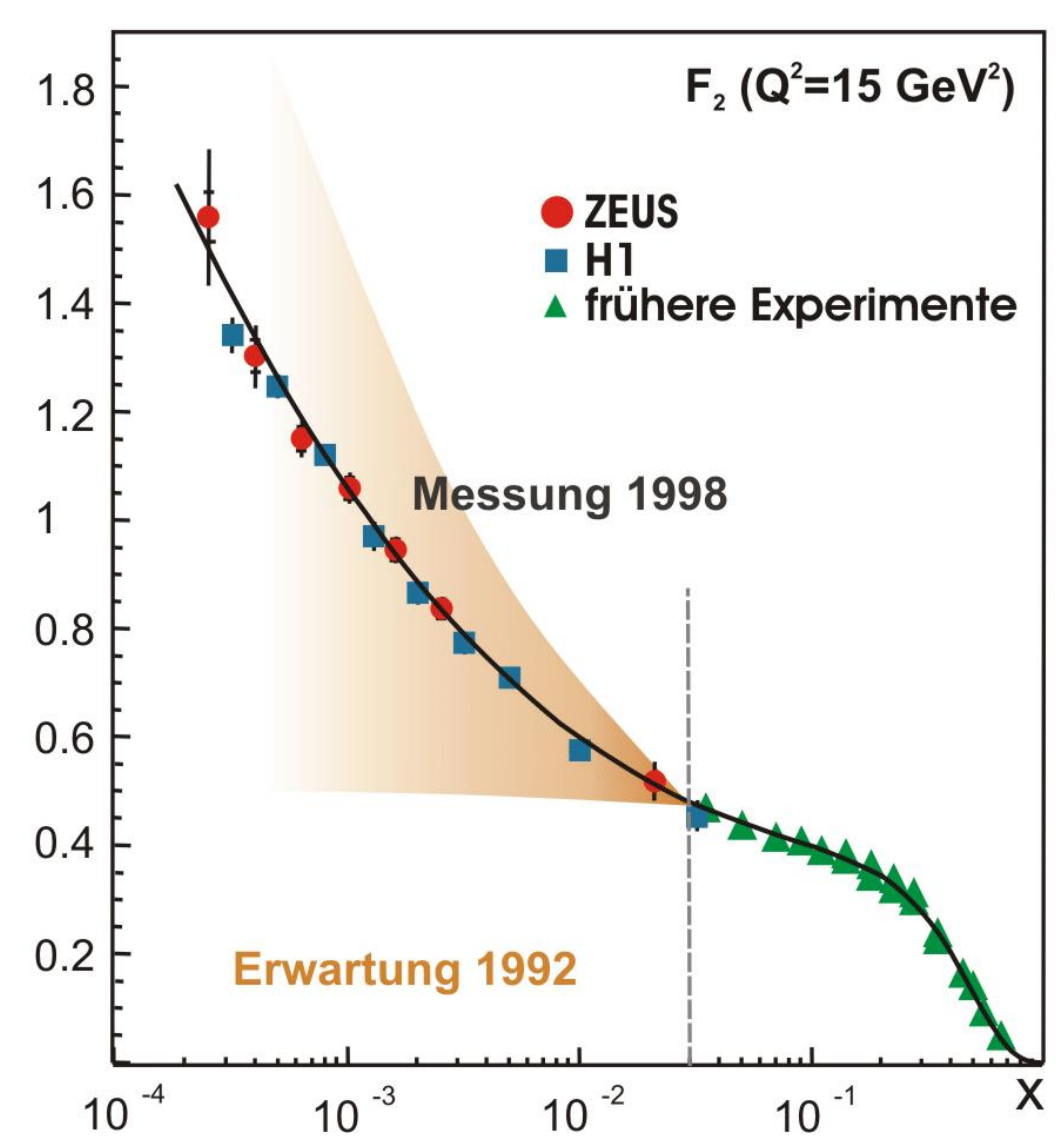
bei der Integration über alle mit den Verteilungsfunktionen gewichteten Quarkimpulsen sollte gelten:

$$\int_{0}^{1} F_2^{\nu N}(x) \cdot dx \equiv 1$$

experimentelle Beobachtung:

$$\int_{0}^{1} F_{2}^{v,N}(x) dx \approx \frac{18}{5} \int_{0}^{1} F_{2}^{e,N}(x) dx \approx 0,5$$

Quarks tragen nur ~ die Hälfte des Impulses, die andere Hälfte des Impulses kommt von den Gluonen (d.h. Teilchen die keine elektromagnet. bzw. schwache Ww. ausüben)



Partonverteilungen - Nukleonimpuls



bei der Integration über alle mit den Verteilungsfunktionen gewichteten Quarkimpulsen sollte gelten:

$$\int_{0}^{1} F_{2}^{\nu N}(x) \cdot dx \equiv 1$$

experimentelle Beobachtung:

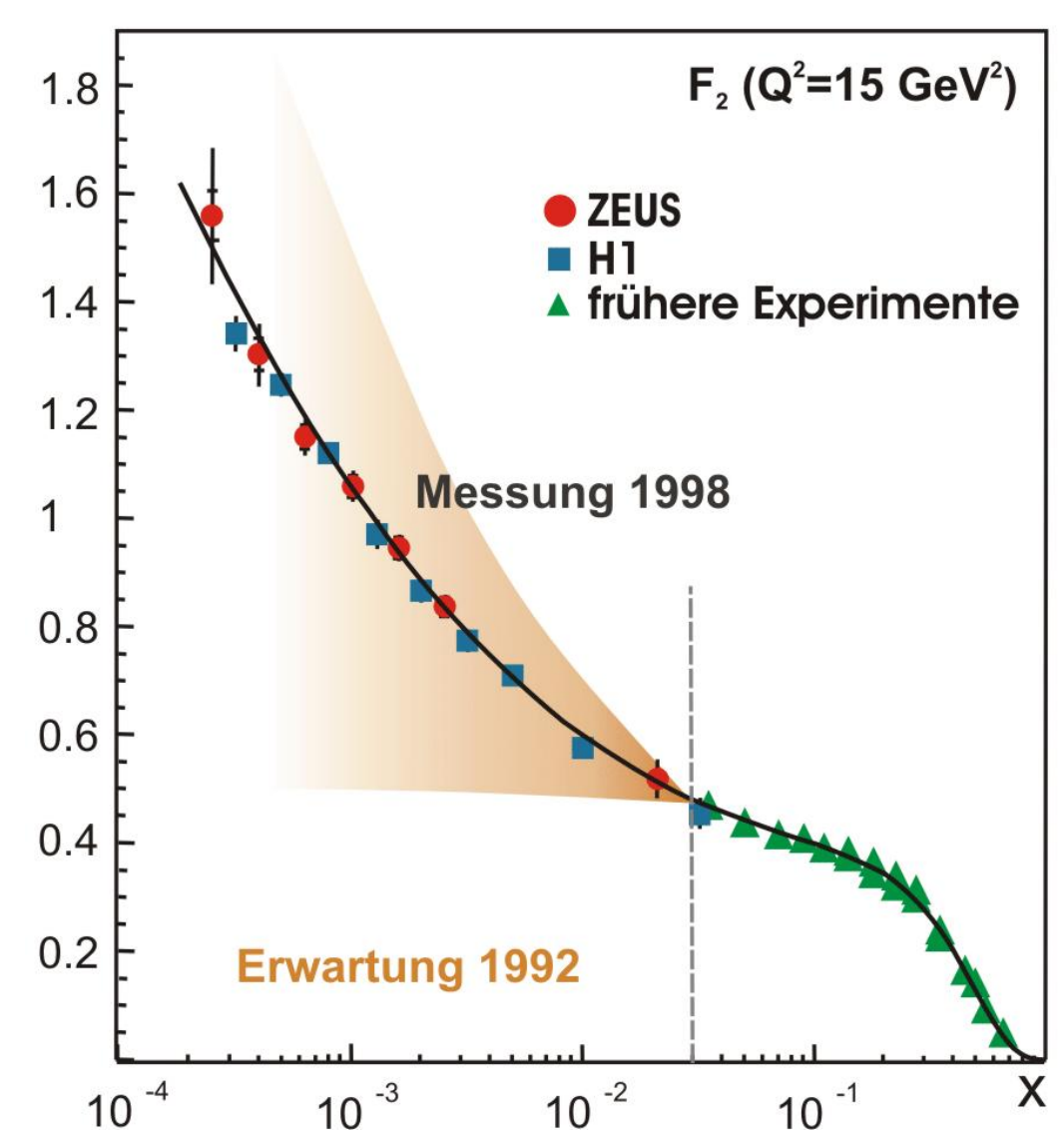
$$\int_{0}^{1} F_{2}^{v,N}(x) dx \approx \frac{18}{5} \int_{0}^{1} F_{2}^{e,N}(x) dx \approx 0,5$$

$$\int_{0}^{1} x \cdot d(x) \, dx \approx 0.18$$

$$\int_{0}^{1} x \cdot u(x) \, dx \approx 0.36$$

down-Quarks

up-Quarks





KIT-IEKP

 Strukturfunktionen zeigen bei hohem Q² einen deutlichen Effekt der See-Quarks: zahlreiche Quarks mit extrem kleinem Impulsanteil x

große x:

20

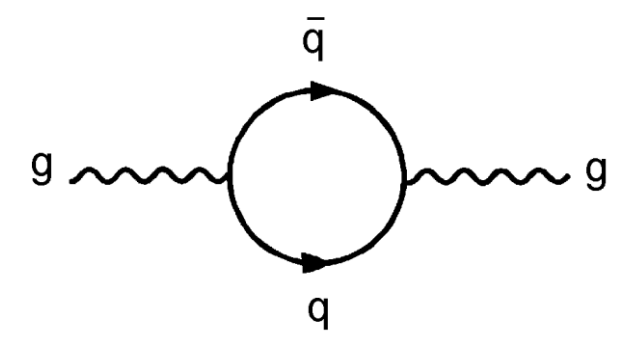
11.5.2010

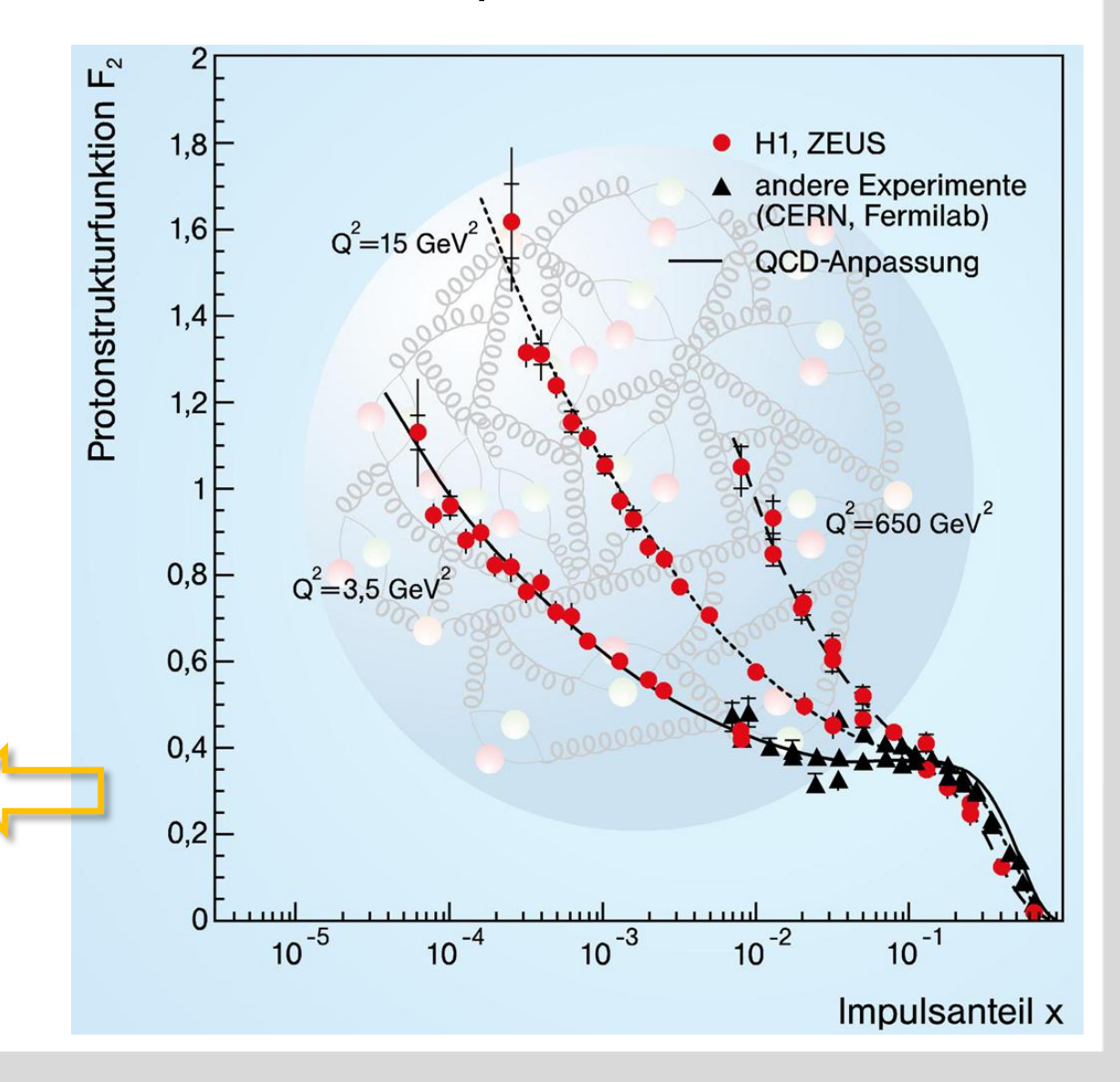
Hauptbeitrag durch Valenzquarks kleine x:

Hauptbeitrag durch Gluonen und durch die von ihnen erzeugten Seequarks (Abstrahlung)

führt zu einem steilen Anstieg der PDF bei kleinem x

Seequarks durch Gluonen:

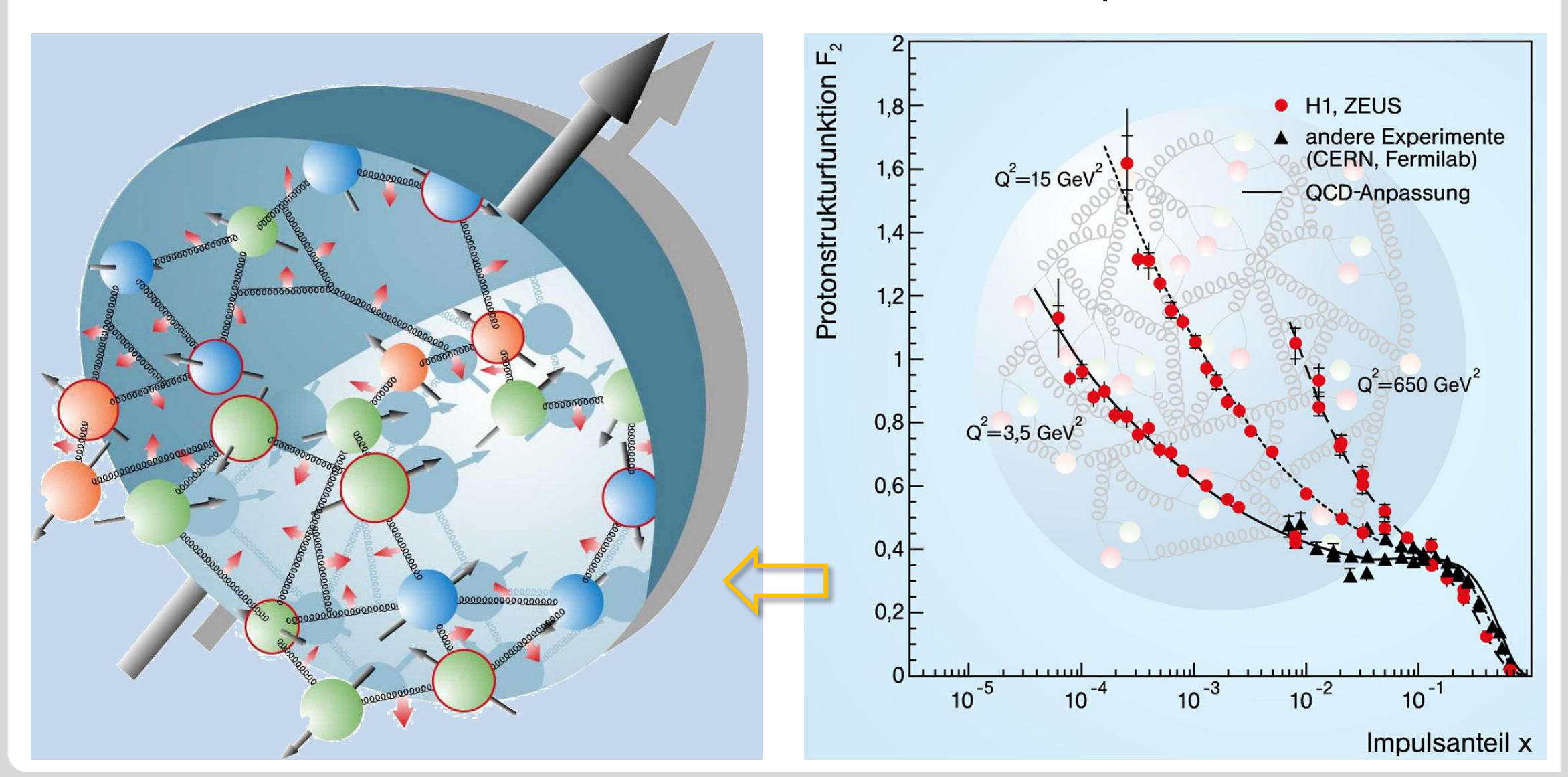




G. Drexlin – VL08



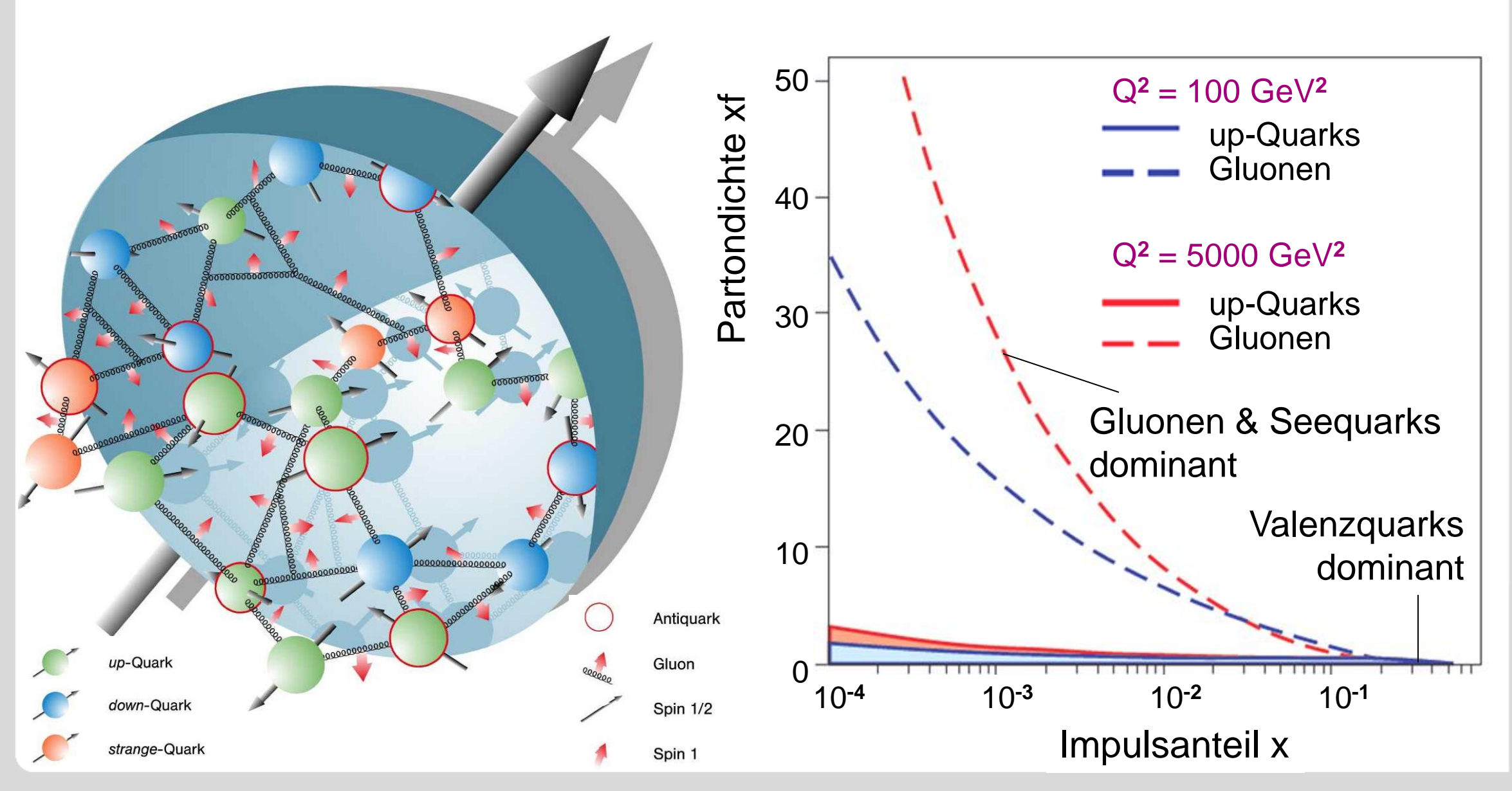
 Strukturfunktionen zeigen bei hohem Q² einen deutlichen Effekt der See-Quarks: zahlreiche Quarks mit extrem kleinem Impulsanteil x



11.5.2010 G. Drexlin – VL08 KIT-IEKP



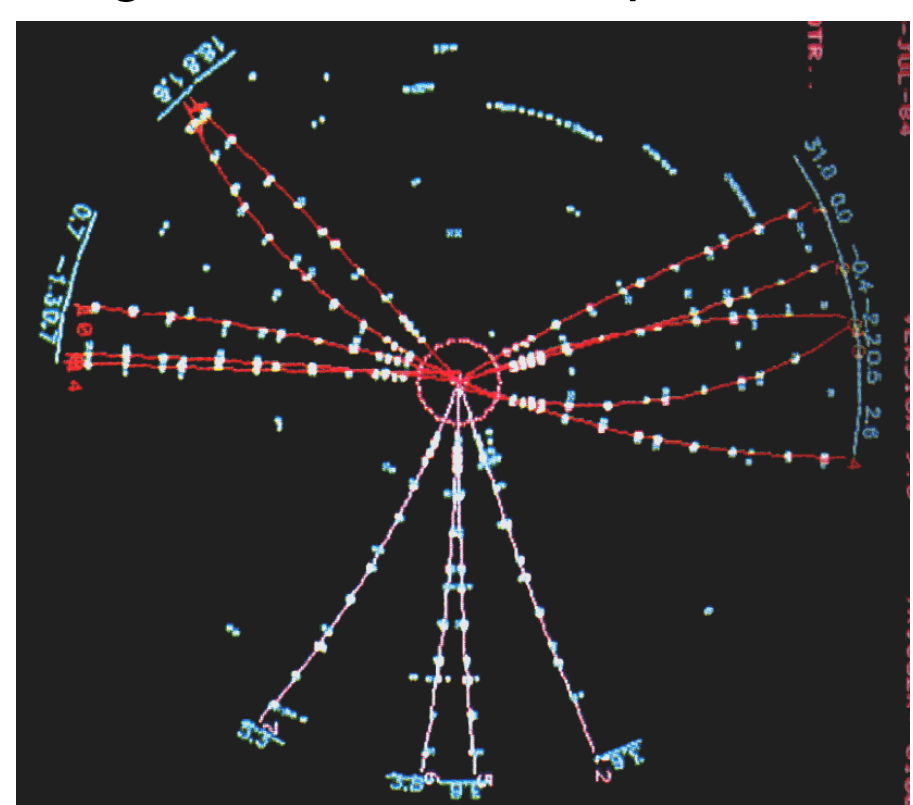
Partondichte-Verteilungen (pdf – parton density function)



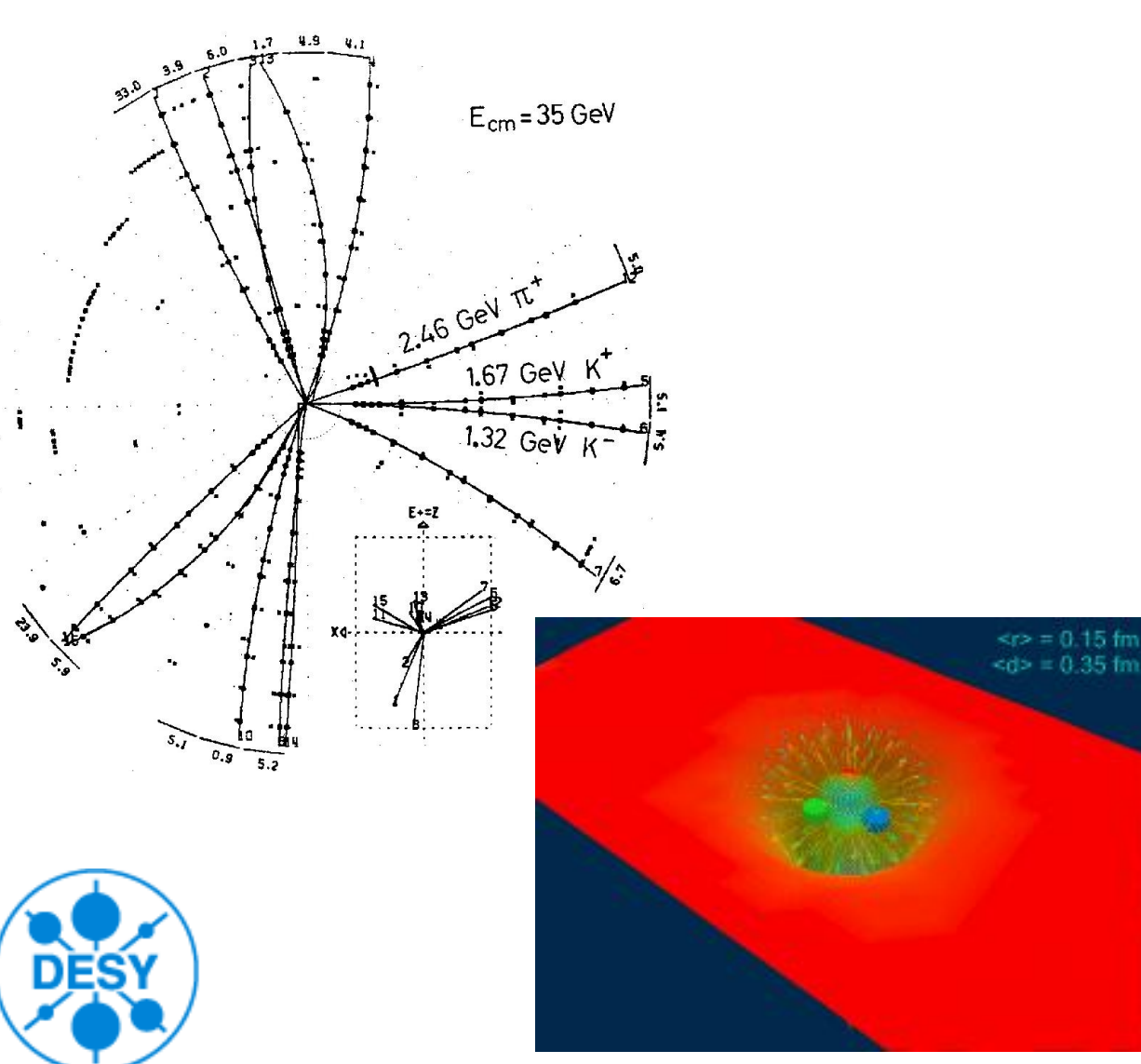
G. Drexlin - VL08



 Gluonen spielen eine wichtige Rolle im Aufbau des Nukleons, sie tragen ~ 50% des Impulses



Gluonen wurden zuerst am DESY nachgewiesen (1979): 3-Jet events bei PETRA



Nukleonaufbau: woher kommt M_N?



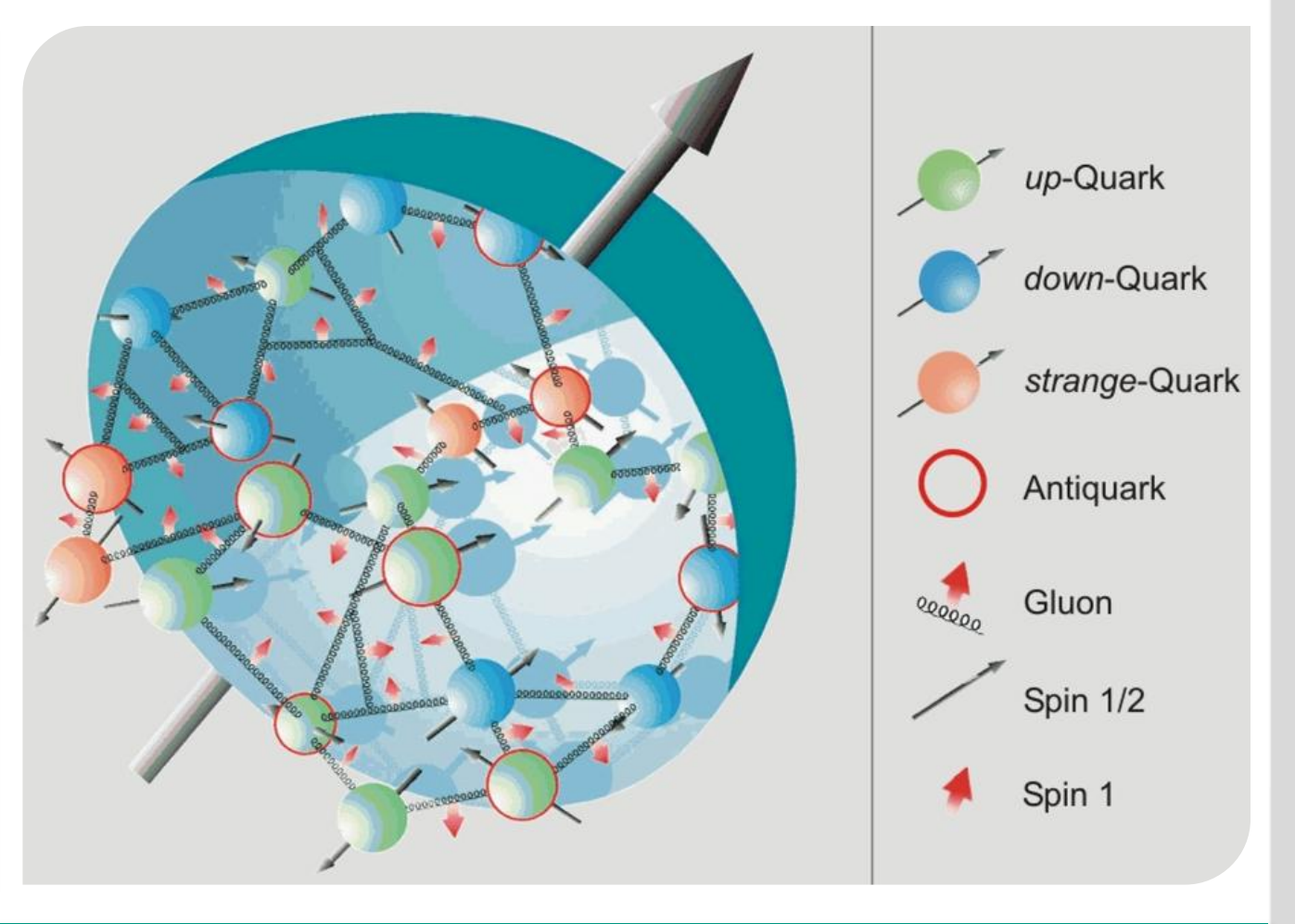
24

Masse der Nukleonen p,n



Masse des Protons (uud)		
Proton	938.27 MeV	
up-Quark	~ 1.5-3 MeV	
down-Quark	~ 3-7 MeV	

Masse des Protons (QCD)		
Proton	~ 940 MeV	
Quarks - Energie	~ 270 MeV	
Quarks - Masse	~ 160 MeV	
Gluonen - Energie	~ 320 MeV	
Anomalie-Term	~ 190 MeV	



2008: baryonische Masse resultiert zu ~95% durch QCD-Vakuum-Effekte

11.5.2010 G. Drexlin – VL08 KIT-IEKP